

## دراسة تأثير بعض مشتقات الثايوسيمكاربازايد ومعقداتها مع بعض العناصر الانتقالية على فعالية أنزيم الفوسفاتيز القاعدي

أياد عبد الرزاق مطر<sup>1</sup> وعمر حمد شهاب العبيدي<sup>2</sup> وسجي سعدون فارس<sup>1</sup>  
<sup>1</sup>جامعة الانبار / كلية العلوم / قسم الكيمياء  
<sup>2</sup>جامعة الانبار / كلية التربية للبنات

### ABSTRACT

This research involves study the biological activity of some Thiosemicarbazide derivatives & its complexes with some transition metals from the degree of inhibition obtained .

The result obtained from ( Lineweaver – Burk ) plot indicates that the inhibition is Non-Competitive.

The inhibition percentage obtained confirmed that salicylaldehyde-3-thiosemicarbazone with metal of Iron has a higher inhibition than remnant of complexes .

### الخلاصة

تضمن البحث دراسة الفعالية الحيوية لعدد من مشتقات الثايوسيمكاربازايد ومعقداتها مع كلوريدات العناصر الانتقالية (Co(II) ، Cu(II) ، Fe(III) ، Ni(II) ) المحضرة حيث درست تأثيرها كمثبطات على فعالية أنزيم ALP وتم تعين تركيز المثبط مع الأنزيم لاظهاره أعلى نسبة مؤدية للتثبيط . وقد أظهرت النتائج المستحصلة من رسم لينويفربرك أن التثبيط يكون غير تنافسي وقد أكدت نتائج النسبة المؤدية للتثبيط أن لمعقد Salicylaldehyde-3-thiosemicarbazone مع عنصر الحديد قوة تثبيطية أعلى من باقي المعقدات .

### المقدمة

ينتمي الفوسفاتيز القاعدي إلى صنف الأنزيمات المميّة وفقاً لـ ( IUB ) ، إذ رقم التصنيف للفوسفاتيز القاعدي هو ( E.C. 3.1.3.1 ) الذي أعطي وفقاً لمجموعة الفوسفات المنتقلة خلال الفاعل (2,1).

يوجد أنزيم الفوسفاتيز القاعدي في عدة أنسجة من الجسم وخاصة في أغشية الخلايا ( Cell Intestinal Membrane ) (3) ، كما يوجد بتراكيز عالي في الغشاء الظهاري للأمعاء (

(4) وفي الكبد ( Liver ) والمشيمة ( Placenta ) وفي العظام ( خلايا التعظم ) ( Osteoblasts ) والأنبوب الكلوية الصغيرة ( Kidney Tubules ) (5) ، كما يوجد في الكروموسومات ( Chromosomes ) (6) وفي الثدي أثناء عملية الرضاعة (7).

وتنشط فعالية هذا الأنزيم بوجود بعض الأيونات الفلزية الثانوية التكافؤ مثل  $Mg^{+2}$  و  $Mn^{+2}$  و  $Co^{+2}$  و  $Zn^{+2}$  ويمتاز أيون المغنيسيوم بالذات ( $Mg^{+2}$ ) بإكساب الفعالية الأمثل لهذا الأنزيم وكذلك أيون بتكوينه معقدات مخلبية (8) ، وتعتبر الأيونات اللافلزية السالبة مثل البورات والأوكزارات والسيانيد من مثبطات فعالية هذا الأنزيم ، ويثبت الأنزيم أيضاً بوساطة المركبات التي يحصل بها اقتناص Chelating مع أيون الخارصين  $Zn^{+2}$  المنشط لفعالية الأنزيم كما في cystiene وكذلك مركب ortho-phenanthroline والتراسيكلين وقد يكون تأثير المادة المثبطة مؤقتاً يزول بزوالها وقد يكون دائمياً (9).

إن مشتقات الثايوسيمكاربازايد لها تطبيقات واسعة في المجالات الطبية والباليولوجية من خلال استعمالها في معالجة أنواع معينة من الأمراض والسرطانات التي تصيب جسم الإنسان . فقد تم استعمال بعض المركبات الحاوية على الكبريت والنتروجين كمساعدات أنزيمية تحضيرية وكما هو الحال في معقدات النيكل والنحاس والزنك من نوع (S و N) إذ تزداد فعالية مشتقات الثايوسيمكاربازايد عند تكوينها معقدات مع الأيونات الفلزية (10-12).

لقد ظهرت أهمية الثايوسيمكاربازونات و خاصة المركب ( 2- فورميل بيريدين أو كوبينولين ثايوسيمكاربازون ) في إمكانية استخدامها كمضاد للأورام ، كما إن لها فعالية في تثبيط عمل أنزيم الفوسفاتيز القاعدي (13). فقد حضرت مشتقات 2-فورميل كوبينولين ثايوسيمكاربازون 2-formylquinoline thiosemicarbazone

الثنائية التكافؤ ولوحظ أن بعضها فعالية في تثبيط إنزيم ALP (14). وحضرت سلسلة جديدة من مشتقات 2-فورميل كوينولين ثايوسيمكاربازون ومعقداتها مع الحديد الثلاثي التكافؤ والنحاس والكوبالت الثنائية التكافؤ تمت دراسة تأثير هذه المركبات على إنزيم ALP المستخلص من طفيليات اللشمانيا دونوفاني - L donovani المختبرية ، حيث لوحظ أن بعض هذه المركبات القابلية في تثبيط هذا الإنزيم(15).

أما بالنسبة لمعقدات الفلزات فان استخدامها في العلاجات ليس بالأمر الجديد إذ عرف عدد منها كمواد علاجية وبذلك فتحت معقدات الفلزات المخلبية مجالات واسعة في الكيمياء العلاجية(16)، فقد حضرت سلسلة من معقدات النحاس الثنائي L Thiosemicarbazones ( المعروفة بالمجموعة 4N-2-Acetyl-Pyridyl-2) وسلسلة أخرى تضمنت المجموعة المعروفة ( 4N-2-Acetyl-6- Picolyl ) حيث أثبتت هاتان السلسلتان قابليةهما كمواد مضادة للورم السرطاني الخاص بلوكيما الفئران نوع CFI (17,18).

كما حضر Collins وجماعته (19) المركب 2-acetylpyridine thiosemicarbazone مع  $\text{Co}^{+2}$  ،  $\text{Ni}^{+2}$  ،  $\text{Cu}^{+2}$  ، ووجد أن استخدام المعقدات في العلاجات أكثر فعالية مقارنة بالليكандات الحرة ، وأظهرت معقدات النحاس مع نفس المركب فعالية ضد الملاريا(20-18).

## المواد وطرائق العمل

### 2- الأجهزة والمواد المستخدمة

Centrifuge Sigma, Sensitive Balance Sartorius, Water Bath Julabo , Incubator Gallen Kamp, Elemental Analysis perken Elmer- 240B, Melting Point Apparatus Gallen Kamp MFB – 600, FT - IR Spectrophotometer Shimadzu FT- IR 8400S, U.V- Visible Spectrophotometer Shimadzu UV – 160, Spectrophotometer Corning Colorimeter 253,Carbonate-bicarbonate Buffer, Substrate Solution,4-N,N-dimethylaminobenzaldehyde Benzaldehyde, Ethanol absolute, Salicylaldehyde Thiosemicarbazide,3-chlorobenzaldehyde,Potassium-bromide,Copper(II)chloride-2-hydrate,Ferric(III)chloride-6-hydrate,Cobalt (II) chloride-6-hydrate,Dimethyl sulfoxide. ، Nickel (II) chloride -6- hydrate،

### طريقة العمل 2-2

#### A - تحضير مشتقات الثايوسيمكاربازيد [L<sub>1</sub>,L<sub>2</sub>,L<sub>3</sub>,L<sub>4</sub>]

حضرت مشتقات الثايوسيمكاربازيد بطريقة التكافؤ المباشر بين الالديهيدات الاروماتية مع الأمين الأولي الاليفاتي (الثايوسيمكاربازيد)(21) الشكل (1) تركيب الليكند L<sub>1</sub>.

#### B- تحضير معقدات الليكائد [L<sub>1</sub>] من النوع [M(L<sub>1</sub>)Cl<sub>n</sub>.nH<sub>2</sub>O] (22)

إذ ( )  

$$\text{NiCl}_2 \cdot 6\text{H}_2\text{O} + \text{FeCl}_3 \cdot 6\text{H}_2\text{O} = \text{MCl}_n \cdot 6\text{H}_2\text{O}$$
  

$$[\text{CoCl}_2 \cdot 6\text{H}_2\text{O}], [\text{CuCl}_2 \cdot 2\text{H}_2\text{O}]$$

حضرت باقي المعقدات الأخرى المشابهة بنفس الطريقة أعلاه مع مراعاة تغيير الليكند في كل مرة والشكل (1) يبين تركيب عدد من المعقدات المحضره للليكند L<sub>1</sub>.

#### C- تقدير فعالية إنزيم الفوسفاتيز القاعدي ALP

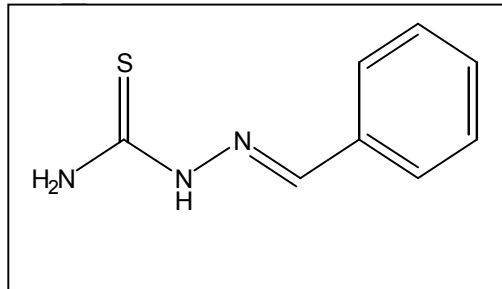
تم تحضير محلول بفر عند pH=10 ( 0.1M ) Carbonate – bicarbonate Buffer وكافش (4- aminoantipyrin ) و محلول المادة الأساس Substrate Solution (disodium phenylphosphate) وتعين فعالية إنزيم الفوسفاتيز القاعدي ALP في مصل دم الإنسان باستخدام طريقة Kind and Belfield (23,24) وتم قراءة التغيير في شدة الامتصاص للإنزيم عند طول موجي ( 510 nm ) وقد تم جمع النماذج من الأشخاص الأصحاء .

**D- تقدير فعالية إنزيم ALP بوجود المركبات المحضررة**

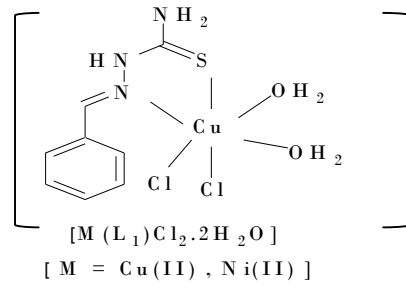
حضرت سلسلة من التراكيز المختلفة لكل مركب من المركبات المحضررة بالتخفيض من محلول القياسي المحضر بتركيز  $0.5 \text{ M}$  للحصول على التراكيز:  $M = 1 \times 10^{-2}, 7 \times 10^{-3}, 5 \times 10^{-3}, 10^{-4}$ , تم تعين فعالية الإنزيم بوجود المركبات المحضررة إذ أضيف  $0.1 \text{ ml}$  من التراكيز المحضررة والمذابة في  $\text{DMSO}$  إلى مزيج من  $0.9 \text{ ml}$  من محلول المنظم و  $1 \text{ ml}$  من المادة الأساسية ومزجت المحتويات بشكل جيد وجرت الإضافات الأخرى بإتباع الطريقة الموضحة في (فقرة C) ، قدرت فعالية الإنزيم  $\text{ALP}$  بوجود المركبات  $L_1, L_2, L_3, L_4$  ومعقداتها مع كلوريدات العناصر الانتقالية  $(\text{Co(II)}, \text{Fe(III)}, \text{Cu(II)})$  والمحضرة تحت الدراسة لمعرفة قدرتها على تثبيط الإنزيم حيث تم إذابة المركبات في مذيب  $\text{DMSO}$  وتم عمل محلول قياسي ( $0.5 \text{ M}$ ) لكل مركب وإضافة مختلف الأحجام لهذه المحاليل المحضررة إلى المزيج القياسي وتم تعين الفعالية باستخدام الطريقة المذكورة في الفقرة (C) أعلىه تم اختبار واستعمل  $\text{DMSO}$  ك محلول سيطرة وتم تعين النسبة المئوية للتثبيط وذلك عن طريق مقارنة الفعالية باستخدام دون استخدام المثبط تحت نفس الظروف وقد جرى تعين ثلاثة مكررات لكل مركب وتم دراسة تأثير المذيب  $\text{DMSO}$  على فعالية الإنزيم  $\text{ALP}$  فلم يظهر أي تأثير تثبيطي أي انه لا يؤثر على فعالية الإنزيم (25).

**E- دراسة نوع التثبيط Inhibitor Type Study**

تم دراسة نوع المادة المثبطة وذلك عن طريق تثبيط تركيز المادة المثبطة وتغيير في تركيز المادة الأساسية . استعمل تركيز واحد لكل المركبات  $M = 1 \times 10^{-2} \text{ M}$  ، أما تركيز المادة الأساسية فقد تراوح بين ( $0.01 \text{ M} - 8 \times 10^{-4} \text{ M}$ ). تم تعين فعالية الإنزيم حسب طريقة العمل الموضحة في ( فقرة C ) بوجود عدم وجود المادة المثبطة وعلى نفس الإنزيم وتحت نفس الظروف وبرسم علاقة لينيفر- براك  $[S]/[V] = [K_m]/[V_{max}]$  ، قيمة  $K_m$  ، قيمة  $V_{max}$ ، نوع التثبيط .



الليكند L1



شكل 1-1: معقدات الليكند L1

**النتائج والمناقشة**

حضرت أربع ليكандات مشتقة من الثايوسيمكاربازايد بوساطة طريقة التكافث المباشر للالديهايدات الاروماتية مع الأمين الأولي ( الثايوسيمكاربازايد ) ، شخصت الليكандات بالتحليل الدقيق العناصر (C.H.N.) كما مبين في الجدول (1) بالإضافة إلى استعمال تقنيات طيف الأشعة فوق البنفسجية Vis-UV و طيف الأشعة تحت الحمراء IR.

حضرت المعقدات من تفاعل كلوريدات العناصر الانتقالية الحديد (III) ، الكوبالت (II) ، النيكل (II) والنحاس (II) مع مشتقات الثايوسيمكاربازايد ، شخصت المعقدات بالتحليل الدقيق للعناصر (C.H.N) والتحليل الكمي للعناصر الفلزية، فضلاً عن القياسات المغناطيسية والتوصيلية الكهربائية المولارية والنسبية المولية ( فلز : ليكند ) وكذلك باستخدام تقنيات طيف الأشعة تحت الحمراء وطيف الأشعة فوق البنفسجية كما مبين في الجدول (1).

### 1-3 تأثير الليكандات ومعقداتها على فعالية إنزيم ALP

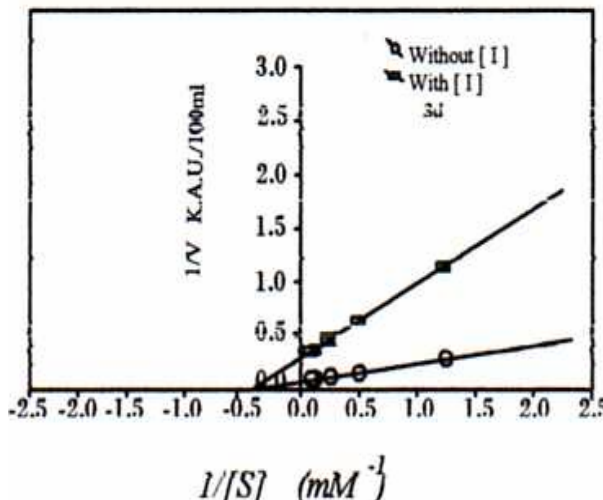
تم قياس الفعالية الأنزيمية لأنزيم الفوسفاتيز القاعدي ALP الموجود في مصل دم الإنسان ( Serum ) (23,24) مختبريا ( In Vitro ) لنماذج مختلفة من الرجال والنساء وذلك باستخدام طريقة Kind and Belfield

وقد تراوحت الفعالية الأنزيمية بين (  $4.31 \pm 0.52$  –  $8.51 \pm 0.221$  U/100ml ) وهذه القيم كانت ضمن معدل الفعالية الأنزيمية لأنزيم الفوسفاتيز القاعدي ALP في مصل دم الإنسان (26). كما تم تعين الفعالية النوعية لكل نموذج مستخدم وقد تراوحت ما بين ( 0.07 – 1.43 U/mg ) . تم تقدير البروتين الموجود في كل نموذج من المصل باستخدام طريقة لورى ( Lowry Method ) (27) .

تم دراسة تأثير الليكандات ومعقداتها المحضررة على فعالية إنزيم ( ALP ) في مصل دم الإنسان ( Serum ) مختبريا ( In Vitro ) عند تراكيز مختلفة تراوحت بين (  $1 \times 10^{-4}$  –  $1 \times 10^{-2}$  M ) ، وقد بينت النتائج أن المعقدات [Co(L<sub>4</sub>)Cl<sub>3</sub>.H<sub>2</sub>O] ، [Co(L<sub>3</sub>)Cl<sub>3</sub>.H<sub>2</sub>O] ، [Co(L<sub>2</sub>)Cl<sub>3</sub>] ، [Fe(L<sub>3</sub>)Cl<sub>3</sub>.H<sub>2</sub>O] ، [Ni(L<sub>3</sub>)Cl<sub>2</sub>.2H<sub>2</sub>O] ، [Cu(L<sub>2</sub>)Cl<sub>2</sub>.H<sub>2</sub>O] ، [Fe(L<sub>2</sub>)Cl<sub>3</sub>] ، [Fe(L<sub>1</sub>)Cl<sub>2</sub>.2H<sub>2</sub>O] ، [Fe(L<sub>4</sub>)Cl<sub>3</sub>.H<sub>2</sub>O] ، [Cu(L<sub>4</sub>)Cl<sub>2</sub>.2H<sub>2</sub>O] ، [Cu(L<sub>3</sub>)Cl<sub>2</sub>.2H<sub>2</sub>O] ، [Ni(L<sub>4</sub>)Cl<sub>2</sub>.2H<sub>2</sub>O] ، [Ni(L<sub>2</sub>)Cl<sub>2</sub>.H<sub>2</sub>O] أظهرت تأثيراً مثبطاً على إنزيم ( ALP ) وكانت النسبة المئوية للتثبيط تتراوح ما بين ( 45.5 – 91.2 % ) بينما أظهرت باقي المعقدات تأثيراً منشطاً عليه كما موضح في الجدول (2) ، كما أظهرت الليكандات الحرة تأثيراً منشطاً على الأنزيم كما هو موضح في الجدول (3).

### 2-3 دراسة نوع التثبيط Inhibition Type Study

تم دراسة نوع التثبيط وذلك باستخدام تركيز (  $1 \times 10^{-3}$  M ) أما تركيز المادة الأساسية فقد تراوح بين (  $8 \times 10^{-4}$  –  $1 \times 10^{-2}$  M ) ومن رسم علاقة لينويفر- برك ( Lineweaver – Burk ) Relation ما بين تركيز المادة الأساسية [S]/[V] ضد مقلوب سرعة التفاعل الأنزيمي [V]/[V] شكل (2) كانت قيمة ( Vmax ) تتغير بينما تبقى قيمة ( Km ) ثابتة لا تتغير وهذا يؤدي إلى الاستنتاج بأن نوع التثبيط هو غير تنافسي ( non-Competitive ) ، وتم تثبيت قيم Km ، Ki و Vmax في الرسوم البيانية وقيمها في الجدول (4) .



شكل-2: رسم لينويفربرك ( Lineweaver – Burk ) والذي بين ان نوع التثبيط هو غير تنافسي ( Non-Competitive )

## جدول-1: الخواص الفيزيائية والقياسات الطيفية لليكزدات ومعقداتها

| No. of Comp.  | Physical properties and spectral data   |
|---|---|
| L <sub>1</sub>  | <b>M.P. °C :</b> 193 -195, <b>Calc. % (Found %)</b> , C 53.55(53.49), H 5.02(4.97), N 23.43(23.37) IR: v N-H3398, v C = N 1620, δNH <sub>2</sub> 1370, v C=S 831 UV-Vis.: 234 , 304 nm  |
| L <sub>2</sub>  | <b>M.P. °C :</b> 170 – 172, <b>Calc. % (Found %)</b> , C 49.17(49.12), H 4.60 (4.57), N 21.51 (21.48), IR: ( v N-H3400, v C = N 1618, δNH <sub>2</sub> 1373, v C=S 831)cm <sup>-1</sup> , UV-Vis.: 230 , 301 nm                   |
| L <sub>3</sub>  | <b>M.P. °C :</b> 178 – 180, <b>Calc. % (Found %)</b> C 44.92(44.89), H 3.74 (3.68), N 19.65 (19.61), IR: (v N-H3400, v C = N 1620, δNH <sub>2</sub> 1372, v C=S 831) cm <sup>-1</sup> , UV-Vis.: 238 , 302 nm                     |
| L <sub>4</sub>  | <b>M.P. °C:</b> 151 – 153, <b>Calc. % (Found %)</b> C 55.73(54.99), H 6.50 (6.46), N 26.02 (25.93), IR: (v N-H3400, v C = N 1619, δNH <sub>2</sub> 1370, v C=S 831) cm <sup>-1</sup> , UV-Vis.: 237 , 304 nm                      |
| [Co(L <sub>2</sub> )Cl <sub>3</sub> ]                   | <b>M.P. °C:</b> 223 – 225, <b>Calc. % (Found %)</b> C 26.69(26.64), H 2.22 (2.17), N 11.68 (11.62), M 16.39 (16.31) IR: (v N-H3398, v C = N 1600, δ NH <sub>2</sub> 1370, v C=S 757 )cm <sup>-1</sup> , UV-Vis.: 245 , 345,377 nm |
| [Co(L <sub>3</sub> )Cl <sub>3</sub> .H <sub>2</sub> O]  | <b>M.P. °C:</b> 206 – 208, <b>Calc. % (Found %)</b> C 24.17(24.10), H 2.52 (2.44), N 10.58 (10.53), M 14.84 (14.77) IR: (v N-H3400, v C = N 1600, δ NH <sub>2</sub> 1372, v C=S 786) cm <sup>-1</sup> , UV-Vis.: 245 , 344,372 nm |
| [Co(L <sub>4</sub> )Cl <sub>3</sub> .H <sub>2</sub> O]  | <b>M.P. °C:</b> 280 – 282, <b>Calc. % (Found %)</b> C 30.09(30.05), H 4.01 (3.99), N 14.04 (14.03), M 14.78 (14.72) IR: (v N-H3398, v C = N 1604, δ NH <sub>2</sub> 1369, v C=S 757) cm <sup>-1</sup> , UV-Vis.: 244 , 339,374 nm |
| [Fe(L <sub>2</sub> )Cl <sub>3</sub> ]                   | <b>M.P. °C:</b> 230 – 232, <b>Calc. % (Found %)</b> C 26.92(26.86), H 2.24 (2.18), N 11.78 (11.73), M 15.66 (15.63) IR: (v N-H3397, v C = N 1609, δ NH <sub>2</sub> 1369, v C=S 753) cm <sup>-1</sup> , UV-Vis.: 246 , 341,363 nm |
| [Fe(L <sub>3</sub> )Cl <sub>3</sub> .H <sub>2</sub> O]  | <b>M.P. °C:</b> 211 – 213, <b>Calc. % (Found %)</b> C 24.37(24.28), H 2.54 (2.49), N 10.66 (10.59), M 14.18 (14.16) IR: (v N-H3399, v C = N 1607, δ NH <sub>2</sub> 1370, v C=S 768) cm <sup>-1</sup> , UV-Vis.: 244 , 348,366 nm |
| [Fe(L <sub>4</sub> )Cl <sub>3</sub> .H <sub>2</sub> O]  | <b>M.P. °C:</b> 264 – 266, <b>Calc. % (Found %)</b> C 30.33(30.24), H 4.04 (4.02), N 14.16 (14.08), M 14.12 (14.07) IR: (v N-H3398, v C = N 1605, δ NH <sub>2</sub> 1369, v C=S 767) cm <sup>-1</sup> , UV-Vis.: 251 , 342,379 nm |
| [Cu(L <sub>1</sub> )Cl <sub>2</sub> .2H <sub>2</sub> O] | <b>M.P. °C:</b> 266 – 268, <b>Calc. % (Found %)</b> C 27.45(27.42), H 3.72 (3.65), N 12.04 (11.98), M 18.17 (18.01) IR: (v N-H3399, v C = N 1604, δNH <sub>2</sub> 1371, v C=S 756) cm <sup>-1</sup> , UV-Vis.: 245 , 342,373 nm  |
| [Cu(L <sub>2</sub> )Cl <sub>2</sub> .H <sub>2</sub> O]  | <b>M.P. °C:</b> 285 – 287, <b>Calc. % (Found %)</b> C 27.68(27.66), H 2.86 (2.83), N 12.11 (12.05), M 18.32 (18.03) IR: (v N-H3398, v C = N 1606, δ NH <sub>2</sub> 1371, v C=S 786) cm <sup>-1</sup> , UV-Vis.: 248 , 345,365 nm |

|   |  |
|---|--|
| [Cu(L <sub>3</sub> )Cl <sub>2</sub> .2H <sub>2</sub> O] | <b>M.P. °C:</b> 242 – 244, <b>Calc. % (Found %)</b> C 24.99(24.83), H 3.12 (3.09), N 10.93 (10.85), M 16.54 (16.48) IR: (v N-H 3398, v C = N 1606, δ NH <sub>2</sub> 1371, v C=S 786) cm <sup>-1</sup> , UV-Vis.: 245, 347, 364 nm |
| [Cu(L <sub>4</sub> )Cl <sub>2</sub> .2H <sub>2</sub> O] | <b>M.P. °C:</b> 210 – 212, <b>Calc. % (Found %)</b> C 31.23(31.16), H 4.67 (4.60), N 14.51 (14.46), M 16.47 (16.39) IR: (v N-H 3399, v C = N 1598, δ NH <sub>2</sub> 1368, v C=S 767) cm <sup>-1</sup> , UV-Vis.: 245, 338, 379 nm |
| [Ni(L <sub>2</sub> )Cl <sub>2</sub> .H <sub>2</sub> O]  | <b>M.P. °C:</b> 216 – 218, <b>Calc. % (Found %)</b> C 28.10(28.02), H 2.93 (2.98), N 12.29 (12.26), M 17.18 (17.11) IR: (v N-H 3398, v C = N 1602, δ NH <sub>2</sub> 1368, v C=S 753) cm <sup>-1</sup> , UV-Vis.: 250, 344, 357 nm |
| [Ni(L <sub>3</sub> )Cl <sub>2</sub> .2H <sub>2</sub> O] | <b>M.P. °C:</b> 237 – 239, <b>Calc. % (Found %)</b> C 25.32(25.28), H 3.16 (3.12), N 11.08 (11.04), M 15.50 (15.47) IR: (v N-H 3398, v C = N 1602, δ NH <sub>2</sub> 1371, v C=S 781) cm <sup>-1</sup> , UV-Vis.: 249, 343, 348 nm |
| [Ni(L <sub>4</sub> )Cl <sub>2</sub> .2H <sub>2</sub> O] | <b>M.P. °C:</b> 206 – 208, <b>Calc. % (Found %)</b> C 30.95(30.90), H 4.64 (4.58), N 14.40 (14.36), M 15.14 (15.09) IR: (v N-H 3400, v C = N 1598, δ NH <sub>2</sub> 1370, v C=S 770) cm <sup>-1</sup> , UV-Vis.: 247, 344, 371 nm |

## جدول - 2 : تأثير المعقدات المحضررة على فعالية الأنزيم ALP

| . of Comp.  | Activity Without [ I ] | Activity With [ I ] |       |                    |       |                    |       |                    |       |
|---|------------------------|---------------------|-------|--------------------|-------|--------------------|-------|--------------------|-------|
|   |                        | 1x10 <sup>-2</sup>  |       | 7x10 <sup>-3</sup> |       | 5x10 <sup>-3</sup> |       | 1x10 <sup>-4</sup> |       |
|   |                        | V                   | Inh.% | V                  | Inh.% | V                  | Inh.% | V                  | Inh.% |
| [Co(L <sub>2</sub> )Cl <sub>3</sub> ]                   | 5.86 ±0.29             | 0.74 ±0.32          | 87.4  | 1.17 ±0.29         | 80.0  | 1.57 ±0.39         | 73.2  | 2.27 ±0.43         | 61.3  |
| [Co(L <sub>3</sub> )Cl <sub>3</sub> .H <sub>2</sub> O]  | 4.31 ±0.52             | 0.45 ±0.34          | 89.5  | 1.14 ±0.23         | 73.5  | 1.79 ±0.21         | 58.5  | 2.52 ±0.45         | 41.5  |
| [Co(L <sub>4</sub> )Cl <sub>3</sub> .H <sub>2</sub> O]  | 8.51 ±0.22             | 0.83 ±0.34          | 90.2  | 1.19 ±0.27         | 86.0  | 2.33 ±0.26         | 72.5  | 3.21 ±0.26         | 62.2  |
| [Fe(L <sub>2</sub> )Cl <sub>3</sub> ]                   | 8.15 ±0.26             | 0.77 ±0.36          | 91.2  | 1.02 ±0.25         | 87.4  | 1.56 ±0.18         | 80.9  | 2.09 ±0.33         | 74.4  |
| [Fe(L <sub>3</sub> )Cl <sub>3</sub> .H <sub>2</sub> O]  | 7.73 ±0.35             | 1.35 ±0.25          | 82.6  | 1.77 ±0.29         | 77.1  | 1.89 ±0.43         | 75.5  | 2.43 ±0.41         | 68.6  |
| [Fe(L <sub>4</sub> )Cl <sub>3</sub> .H <sub>2</sub> O]  | 7.51 ±0.44             | 1.16 ±0.34          | 84.6  | 1.49 ±0.22         | 80.2  | 1.83 ±0.45         | 75.6  | 2.34 ±0.27         | 68.8  |
| [Cu(L <sub>1</sub> )Cl <sub>2</sub> .2H <sub>2</sub> O] | 5.53 ±0.21             | 1.06 ±0.14          | 80.8  | 1.50 ±0.23         | 72.8  | 1.86 ±0.27         | 66.4  | 2.17 ±0.20         | 60.7  |
| [Cu(L <sub>2</sub> )Cl <sub>2</sub> .H <sub>2</sub> O]  | 5.71 ±0.14             | 0.93 ±0.38          | 83.7  | 1.24 ±0.34         | 78.3  | 2.15 ±0.19         | 62.3  | 3.02 ±0.32         | 47.1  |
| [Cu(L <sub>3</sub> )Cl <sub>2</sub> .2H <sub>2</sub> O] | 6.76 ±0.31             | 0.87 ±0.26          | 87.1  | 1.48 ±0.24         | 78.1  | 2.23 ±0.34         | 67.0  | 3.02 ±0.38         | 55.3  |
| [Cu(L <sub>4</sub> )Cl <sub>2</sub> .2H <sub>2</sub> O] | 6.83 ±0.185            | 0.98 ±0.34          | 85.6  | 1.23 ±0.22         | 82.1  | 1.78 ±0.28         | 73.9  | 2.14 ±0.35         | 68.7  |
| [Ni(L <sub>2</sub> )Cl <sub>2</sub> .H <sub>2</sub> O]  | 6.84 ±0.27             | 1.02 ±0.21          | 85.0  | 1.67 ±0.22         | 75.6  | 2.33 ±0.27         | 65.9  | 2.63 ±0.32         | 61.5  |
| [Ni(L <sub>3</sub> )Cl <sub>2</sub> .2H <sub>2</sub> O] | 6.37 ±0.37             | 0.83 ±0.20          | 86.9  | 1.19 ±0.34         | 81.3  | 1.76 ±0.33         | 72.4  | 2.19 ±0.27         | 65.6  |
| [Ni(L <sub>4</sub> )Cl <sub>2</sub> .2H <sub>2</sub> O] | 7.92 ±0.42             | 1.10 ±0.27          | 86.1  | 2.04 ±0.26         | 74.2  | 3.12 ±0.23         | 60.6  | 4.08 ±0.23         | 48.4  |

## جدول - 3 : تأثير الليكандات المحضررة على فعالية أنزيم ALP

| [I]<br>$1 \times 10^{-3}$ M                             | Vmax<br>U/100ml | Km<br>(M)             | Ki<br>(M)             | Kind of Inh. |
|---|-----------------|-----------------------|-----------------------|--------------|
| [Co(L <sub>2</sub> )Cl <sub>2</sub> .H <sub>2</sub> O]  | 3.71            | $2.22 \times 10^{-3}$ | $1.87 \times 10^{-3}$ | Non Comp.    |
| [Co(L <sub>3</sub> )Cl <sub>2</sub> .2H <sub>2</sub> O] | 2.22            | $1.89 \times 10^{-3}$ | $2.71 \times 10^{-3}$ | Non Comp.    |
| [Co(L <sub>4</sub> )Cl <sub>2</sub> .2H <sub>2</sub> O] | 3.56            | $2.76 \times 10^{-3}$ | $0.73 \times 10^{-3}$ | Non Comp.    |
| [Fe(L <sub>2</sub> )Cl <sub>3</sub> ]                   | 2.23            | $2.31 \times 10^{-3}$ | $0.44 \times 10^{-3}$ | Non Comp.    |
| [Fe(L <sub>3</sub> )Cl <sub>3</sub> .H <sub>2</sub> O]  | 3.85            | $3.13 \times 10^{-3}$ | $1.11 \times 10^{-3}$ | Non Comp.    |
| [Fe(L <sub>4</sub> )Cl <sub>3</sub> .H <sub>2</sub> O]  | 3.13            | $2.13 \times 10^{-3}$ | $1.77 \times 10^{-3}$ | Non Comp.    |
| [Cu(L <sub>1</sub> )Cl <sub>2</sub> .2H <sub>2</sub> O] | 2.56            | $2.38 \times 10^{-3}$ | $1.89 \times 10^{-3}$ | Non Comp.    |
| [Cu(L <sub>2</sub> )Cl <sub>2</sub> .H <sub>2</sub> O]  | 4.17            | $3.13 \times 10^{-3}$ | $1.06 \times 10^{-3}$ | Non Comp.    |
| [Cu(L <sub>3</sub> )Cl <sub>2</sub> .2H <sub>2</sub> O] | 5.88            | $3.22 \times 10^{-3}$ | $0.64 \times 10^{-3}$ | Non Comp.    |
| [Cu(L <sub>4</sub> )Cl <sub>2</sub> .2H <sub>2</sub> O] | 2.08            | $2.08 \times 10^{-3}$ | $1.75 \times 10^{-3}$ | Non Comp.    |
| [Ni(L <sub>2</sub> )Cl <sub>2</sub> .H <sub>2</sub> O]  | 3.44            | $2.68 \times 10^{-3}$ | $0.62 \times 10^{-3}$ | Non Comp.    |
| [Ni(L <sub>3</sub> )Cl <sub>2</sub> .2H <sub>2</sub> O] | 3.57            | $2.94 \times 10^{-3}$ | $1.75 \times 10^{-3}$ | Non Comp.    |
| [Ni(L <sub>4</sub> )Cl <sub>2</sub> .2H <sub>2</sub> O] | 4.34            | $2.77 \times 10^{-3}$ | $0.67 \times 10^{-3}$ | Non Comp.    |

جدول - 4 : قيم Km , V max ، Ki ونوع التثبيط

| No. of Comp.   | Activity Without [I] | Activity With [I]  |       |                    |       |                    |       |                    |       |
|----------------|----------------------|--------------------|-------|--------------------|-------|--------------------|-------|--------------------|-------|
|                |                      | 1x10 <sup>-2</sup> |       | 7x10 <sup>-3</sup> |       | 5x10 <sup>-3</sup> |       | 1x10 <sup>-4</sup> |       |
|                |                      | V                  | Act.% | V                  | Act.% | V                  | Act.% | V                  | Act.% |
| L <sub>1</sub> | 7.25 ±0.16           | 6.31 ±0.39         | 87.1  | 6.09 ±0.39         | 84.0  | 5.79 ±0.33         | 79.9  | 5.41 ±0.33         | 74.6  |
| L <sub>2</sub> | 5.71 ±0.41           | 5.11 ±0.24         | 89.5  | 4.48 ±0.43         | 78.5  | 4.17 ±0.26         | 73.1  | 3.85 ±0.36         | 67.4  |
| L <sub>3</sub> | 8.45 ±0.23           | 7.12 ±0.29         | 84.3  | 6.82 ±0.28         | 80.7  | 6.31 ±0.26         | 74.7  | 6.03 ±0.31         | 71.4  |
| L <sub>4</sub> | 6.26 ±0.22           | 5.48 ±0.13         | 87.54 | 5.13 ±0.21         | 81.9  | 4.75 ±0.32         | 75.9  | 4.53 ±0.26         | 72.4  |

**المصادر**

1. Dixon M. and Webb E.C. , “Enzyme ”, 3<sup>th</sup> ed. , : 255 , Longman group Limited , London ( 1979 ) .
2. Nicolae A. and Draghici C. , J. Rev. Chem. , 55 : 179 – 182 ( 2004 ) .
3. Elanin M. , J. Biochem. , 244 : 725 ( 1987 ) .
4. Burtis C.A. and Ashwood E.R. , “ Tietz text book of Clinical Chemistry ” , 3<sup>th</sup> ed. : 676 – 779, W.B. Saunders Company , Philadelphia ( 1999 ) .
5. Trepanier J.M.,Sergeant L.E.&Stinson R.A.,J Biochem.,155:653( 1976 ) .
6. Dixon M. and Webb E. ,“ Enzyme ”, 2<sup>th</sup> ed. , P. 635 , Longman group limited, London ( 1964 ) .
7. Carpenter P.L.“ Microbiology ” 2<sup>th</sup> ed. , : 316 , W.B. Saunders Company, Philadelphia ( 1961 ) .
8. Chang T.C. and Wang J.K. , J. Biochem. , 199 : 303 ( 1994 ) .
9. Gupta M.K., Singh H.L., Varshney S., Varshney A.K., “Bioinorganic Chemistry & Applications” 1(3-4) : 309–320 ( 2003 ) .
10. Lever S.Z. , Burns H.D. , Kervitsky T.M. , Goldfarb H.W. , Woo D.V.
11. Wong D.F.,Epps L.A., Karmer A.V.and Wagner H. N.,J.Nucl.Med. : 26, 1287(1985) .
12. Baidoo K.E. and lever S. Z. , Cancer Res. , (Cuppl) 50, : 799( 1990) .
13. O’Neil J.P., Wilson S.R. and Katzenellenbogen J.A. , Inorganic Chemistry , 33 ( 2): 55 (1994) .
14. Axamawaty M.T.H., A Thesis of M.Sc. in Chem. , Univ. of Baghdad (1983) .
15. West D.X. , Liberta A.E. , Rajendran K.G. and Hall I.H. , J.Inorg. Biochem. 4(2) : 241( 1993 ) .
16. Shamoon R.G. , M.Sc. Thesis , University of Baghdad , ( 1985 ) .
17. Maysoon T. , M.SC. Thesis , University of Baghdad ( 1999 ) .
18. MillerM.C.,Bastow K.F.,Stineman C.N.,Vance J.R.,West D. X. , and Hall I.H., J. Archiv. Der.Pharmazie, 331(4) :121(1998 ) .
19. 18- Miller M.C. , Stineman C.N. , Vance J.R , West D.X. and Hall I.H. , J.Anticancer Research , 18(6A) : 4131( 1998 ) .

20. Collins F.M. , Klayman D.C. and Morrison N.F. , J. Gen. Microbiol. , 128 : 1349 – 1356 ( 1982 ).
21. Tudor R. , Aurelian G. , Nicolae A. and Georgescu R. , J.Molecules , 12 :782 – 790( 2007 ).
22. Agarwal R.K.,Agarwal H.&Chakraborti I.,Qatar Univ.J.Sci.,14( c ) (1994).
23. Casas J.J., Garsia M.S. and Sordo J., Coord.Chem.Rev.,197: 209 (2000) .
24. Kind P.R.N. and King E.G. , J. Clin. Path. , 7 : 322 ( 1954 ) .
25. Belfield A. and Goldberg O.M. , “ Enzyme ” 12 : 561 ( 1971).
26. Klyman D.L. , Scovi J.P. , Bartosevich J.F. and Mason C.J. , J. Med. Chem. , 22 : 1367 ( 1979 ) .
27. Schmidt E. and Schmidt F.W. , Clinical Biochem , 26 : 241 ,( 1993 ) .
28. Lowry O.H. , Rosebrough N.J. , Faber A.L. and Randall R.J. , J. Biolog.Chem. , 139 : 265 ( 1951 ) .